

## تحديد الخزانات المائية في تكوين الفتحة بواسطة الجس الحراري في منجم كبريت المشرق

ثابت داؤد محضر باشي

الشركة العامة لكبريت المشرق

### الملخص

تكوين الفتحة عند تركيب المشرق من الناحية الهيدروجيولوجية من التكاوين المعقدة والمتعددة الخزانات المائية، حيث يحتوي على فجوات وطبقات حاوية على المياه تكونت بفضل الإذابة وتحول صخور المتبخرات إلى كبريت، يتراوح سمك هذه الطبقات ما بين المتر الواحد والعشرة أمتار وعدها يزيد على العشرة خزانات.

تمكن استعمال الجس الحراري لعشرون بئراً من آبار المراقبة الهيدروجيولوجية في تحديد وتوزيع الخزانات والأنطمة الحاوية على المياه عمودياً وذلك بتحديد الانكسار الحاصل في مخطط الجس الحراري. صنفت مخططات الجس الحراري للآبار إلى أربعة أنواع اعتماداً على تشابهها في التغيير الحاصل في الانحدار الحراري مع العمق، تبين أن درجة الانكسار والتغير في الانحدار الحراري ذات علاقة بالخواص الهيدروليكية وحركة المياه الجوفية أفقياً وعمودياً ما بين الخزانات.

### Detecting The Water-Bearing Zones by The Temp. -log at Mishraq

Thabit D. Mahder-Bashi

Mishraq Sulphur State Enterprise

### ABSTRACT

AL-Fat'ha formation at Mishraq structure considered from the hydrogeological point of view as one of the most complicated multiple aquifer, where containing cavities and the water zones formed by the action of dissolution and alteration of evaporite rocks to sulphur, the thickness ranges from 1m to 10m and their number exceeding 10 zones. Temp. profiles were observed in 20 hydrogeological boreholes to locate the distribution of water bearing zone vertically by the inflection in the Temp. profiles.

Temp. profiles are classified into four types according to their patterns of variation in temperature gradient with depth. It has been found the degree of inflection and the changes in temperature gradient have a relation with the hydraulic properties and ground water movement horizontally and vertically between the aquifers.

### المقدمة

الجس الحراري هو تسجيل لدرجات حرارة السائل الذي يحيط بالمتحسس، سجلت مع العمق داخل الآبار. ان درجة حرارة المياه الجوفية من الناحية الهيدروجيولوجية يعتبر كمفتني أثر (tracer) يستدل بها لدراسة اتجاه سريان المياه الجوفية ما بين الخزانات داخل الآبار التي تختلف عدد من الطبقات أو الخزانات التي تحتوي على الفجوات والشققات مثل تكون الفتحة في منطقة المشراق، كما أنها تعتبر من العناصر السهلة القياس في المسوحات الهيدروجيولوجية. فالتوزيع العمودي للحرارة في صخور الأرض يمكن قياسه باستعمال البئر المملوء بالماء الذي تكون فيه درجة حرارة السائل ذات توازن مع الصخور المحيطة. إن الانحدار الحراري النموذجي يتراوح ما بين  $0.47^{\circ}\text{C}$  و  $0.6^{\circ}\text{C}$  لكل 31 م عمق (Keys & Brown, 1978) ، وان التشوه والانحراف في الانحدار الحراري في التسجيل الحراري مع العمق للبئر يستدل به على تواجد الفجوات أو الشقوق التي تجري فيها المياه الجوفية، كما أن معدل سريان المياه الجوفية العمودي يمكن حسابه باستعمال درجة حرارة سائل البئر اذا كانت سرعة السريان كافية لتأثير على المنحني الحراري (Stallman, 1960).

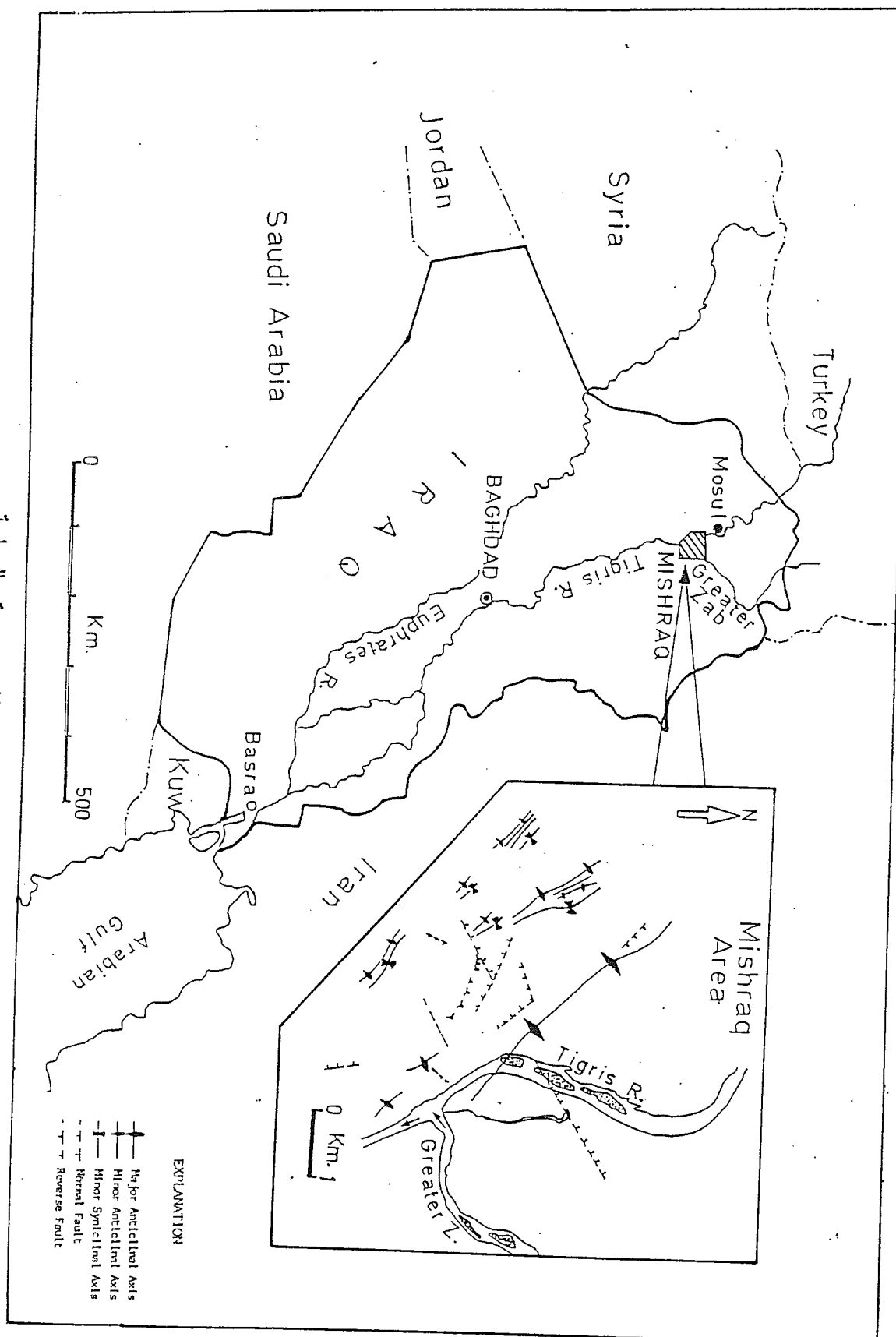
لقد تم تطبيق المنحنيات المثلالية (type curves) المعدة من قبل (Bredehoeft & Papadopoulos, 1965) على التسجيلات الحرارية لآبار المراقبة البالغ عددها عشرون بئراً منتشرة في الحقل والتي تختلف تكون الفتحة وقد حدثت سرعة واتجاه سريان المياه داخل الآبار، اضافة الى ذلك فقد تم تحديد امتداد الشققات والفجوات أفقياً بواسطة المقاطع العرضية.

### الموقع:

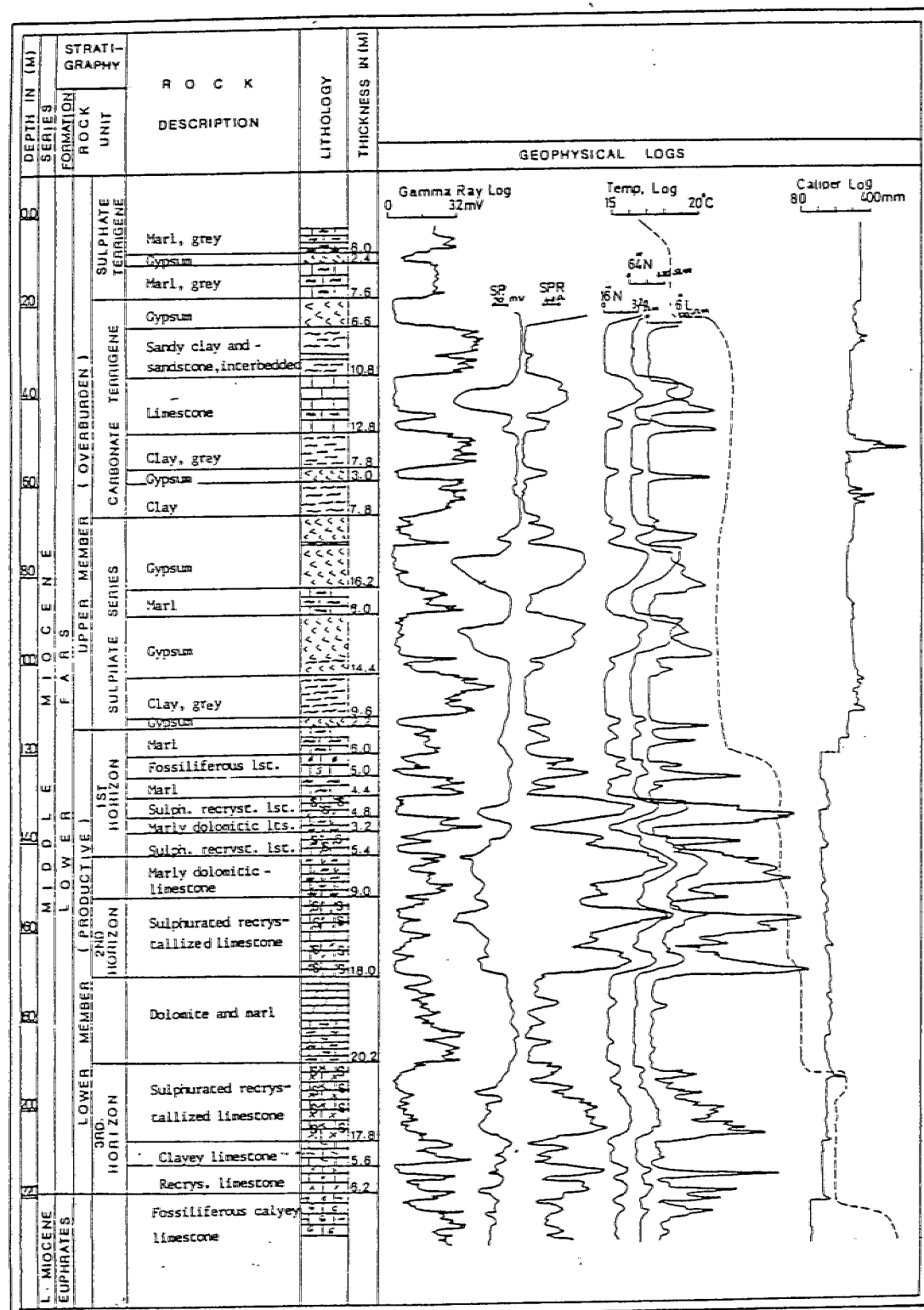
تقع منطقة الدراسة حوالي 45 كم جنوب مدينة الموصل وعلى الجهة اليمنى من نهر دجلة عند تقاطعه مع نهر الزاب الكبير كما مبين في الشكل رقم (1).

### جيولوجية وهيدروجيولوجية المنطقة:

يغطي المنطقة تكون الفتحة (فارس الأسفل) والذي يتكون من تعاقب لدورات ترسيبية، عدد هذه الدورات تتراوح ما بين 10 - 16 في منطقة الدراسة، لكل دورة لها تتبع منسق، فالدورات الكاملة تتكون من الطين والمارل، حجر الكلس الجيري وصخور الجبس و الانهيدرات، معظم الدورات غير متكاملة مع فقدان واحد أو أكثر من عناصرها، كما يتراوح سمك كل دورة من 1 م إلى أكثر من 20 م .. وكما موضح في الشكل رقم (2).



شكل (١) خارطة تبين موقع الدراسة



شكل 2: العمود الجيولوجي مع العمق لمنطقة المشرق

إن تحول صخور الجس والأنهيدرات إلى صخور حاوية على الكبريت رافقها حدوث فجوات إضافة إلى التكهفات بفعل الإذابة. التطبق والفروفات في الليثولوجي قد خلقت ظروفاً مما جعلت الطبقات الحاوية على الماء والخواص الهايدروليكيه تتغير بالاتجاهات الأفقيه العمودية. حيث قسمت الخزانات المائية إلى ثلاثة وعلى ضوء الطبقات الثلاثة الحاوية على الكبريت (Ist. Horizon, II nd.Horizon, & III rd. Horizon) وكما مبين في الشكل رقم (2)، وكل خزان يحتوي على عدد من الأطواق حاوية على الماء (water bearing zones)، وعدد الطوائق يعتمد على عدد التكهفات والفوائل ودرجة تحول الصخور الجبسية إلى كبريت.

#### **التسجيل الحراري العميق :Temp. Depth Profile**

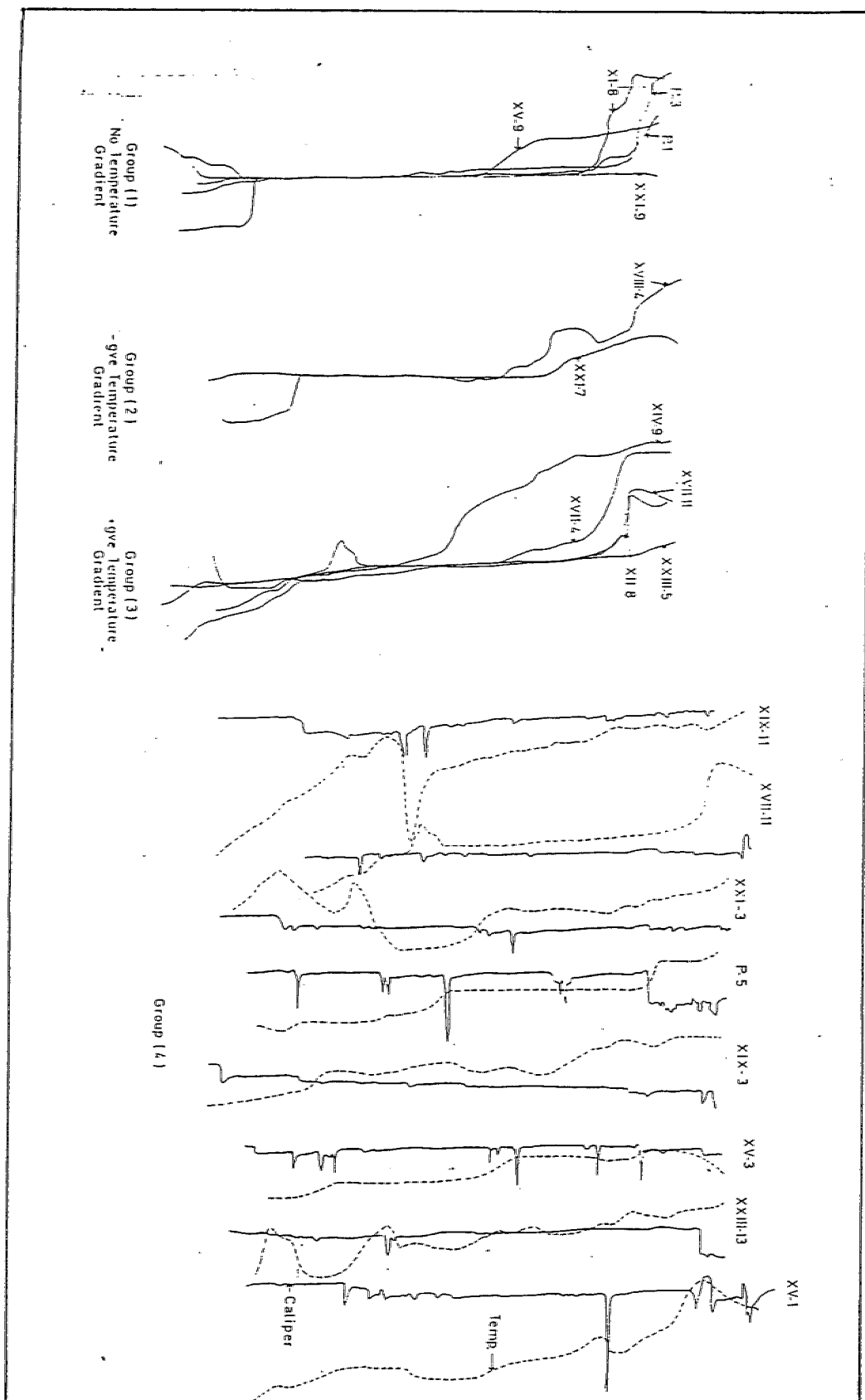
التسجيل الحراري العميق لعشرون بئراً كما موضح في الشكل رقم (3) قد تم قياسها لآبار المراقبة الهايدروجيولوجية وذلك باستعمال الجس الجيوفيزائي الحراري. الجس الحراري للأبارنفذ من الأعلى إلى الأسفل وذلك لتقليل التأثير على التوازن الحراري داخل البئر. آبار المراقبة خلال عملية القياس كانت مفتوحة على مجموع سماك تكوين الفتحة والذي يشمل الجزئين العلوي والسفلي (الغطائية والانتاجية).

قياسات الحرارة للأبار قد قسمت إلى أربعة مجاميع وذلك بموجب تشابهها في تغيير الانحدار الحراري مع العمق وانكسارها وتشويفتها التي سيطرت عليه حركة المياه عمودياً أو دخولها وخروجها من الأطواق المائية.

#### **المجموعة الأولى:**

وتشمل الآبار P-1 ، P-3 ، XV-9 ، XI-8 ، XXI-9 كما مبين في الشكل (1) هذه المجموعة تتميز بتسجيل عمودي عديم الانحدار الحراري حيث تكون درجة الحرارة متساوية من الأعلى إلى الأسفل، مما يقترح أن السريان كان عمودياً داخل البئر والناتج عن الفرق في مستوى الماء الجوفي ما بين الخزانات إضافة إلى أن حركة الماء تبدو سريعة، عليه فإن الحرارة تكون متساوية إلى عمق البئر.

هذه الحالة قد تأكّدت بالاختلاف في مستوى المياه الجوفية حيث سجل مستوى الماء الجوفي في الخزان الأول أقل بكثير من الخزانين الثاني والثالث، كما تبيّن من عمليات الضخ التجاري للخزانات الثلاثة بأن معامل الناقلة في الخزان الأول أعلى بكثير من الخزانين الثاني والثالث، هذه العوامل جعلت المياه تسير إلى الأعلى من الضغط العالي في الأسفل إلى الضغط الواطئ في الأعلى وبسرعة مما جعل الفقدان الحراري العمودي يتلاشى.



شكل 3: التسجيلات الحرارية مع العمق لابار المراقبة

**المجموعة الثانية:**

هذه المجموعة تشمل آبار المراقبة 7-XXI ، 4-XVIII ، 2-Group كما في الشكل . تسجيلات حرارة العمق لهذه المجموعة تميز بأنها ذات انحدار حراري سالب، العملية التي أثرت على مثل هذا التوزيع الحراري ربما يعود إلى سمك الطبقات ذات النفاذية الأعلى والتي توجد عند العمق المحدد بواسطة مسح القطر (caliper log) وخاصة في الطبقة الثالثة التي يقترح أنها تحتوي على كميات كبيرة من المياه الجوفية ذات درجات حرارة قليلة، وكذلك تأثير الصخور ذات التوصيل الحراري العالي في أجزاء من الطبقات الشبه عازلة والتي تقع فوق الطبقات ذات النفاذية العالية بين طبقات الثانية والثالثة والتي تكون من الدولومايت وحجر الجيري الدولوماتي، والعامل الآخر هو أن عمود الماء داخل البئر في حالة توازن ( لا يوجد سريان داخل البئر ) والذي تأكّد من تساوي مستوى المياه في الطبقات الثلاثة.

**المجموعة الثالثة:**

كما يلاحظ في الشكل (3) أنها تمتلك انحدار حراري موجب تزداد الحرارة مع العمق، هذه المجموعة تشمل آبار المراقبة 9-XIV ، 11-XVII ، 4-XVII ، 5-XXIII ، 8-XII ، ان تسجيل العمق الحراري لهذه المجموعة تشير بأنه لا يوجد فرق عالي في النفاذية بين الأطواق الحاوية على الماء باتجاه العمق، التشوه القليل في الانحدار يعود سببه إلى تأثير عملية الحمل.

**المجموعة الرابعة:**

تسجيل العمق الحراري لهذه المجموعة تميز بالقطوعات الواضحة في الانحدار الحراري. الآبار في الشكل (4) تمثل أكثرية الآبار في المنطقة. الانحراف في التسجيل الحراري إلى الجهة اليسرى سببه الاختلاف في درجات الحرارة الناتجة عن دخول الماء في الأطواق ذات النفاذية العالية ودرجة الانحراف تظهر أنها ذات علاقة مع كميات المياه الجارية. سجلات الحرارة لهذه المجموعة قورنت مع الجس القطري للبئر (caliper log)، فالاعماق المشوهة في التسجيلات الحرارية وجد أنها تتطابق مع الزيادات في قطر الآبار والتي تشير إلى وجود فجوات ومسارات قد تكونت بسبب الإذابة والتي تمثل نفاذية عالية، وخاصة في الأعماق المقابلة للصخور الكلستية المتبلورة الحاوية على الكبريت، أما الانفصال في العمود الحراري وجد أنه مقابل الصخور عديمة النفاذية مثل صخور الجبس والأنهيدرات والأطيان كما في الآبار 13-XXIII ، 1-XV ، 3-XXI كما أنها تمتاز بتوصيلية حرارية واطئة.

التسجيل الحراري يؤكد أيضاً أنه لا يوجد سريان للماء داخل البئر مما حافظ على التطبيق الحراري داخل البئر وهذا ما أكدته المستويات المتساوية للمياه الجوفية للطبقات الحاوية على الكبريت عند مواقع هذه الآبار.

### التوزيع الأفقي لمناطق التكهف والشققات:

أمكن استعمال الجس الحراري للأبار لمعرفة امتداد التكهفات والشققات وذلك بربط هذه المناطق من خلال استعمال معلومات الحرارة متلماً تستعمل في الليثولوجي ونوعية المياه أو معلومات تستحصل من قياسات الجس الجيوفيزائي. شكل رقم (4) يوضح الارتباط على طول مقطع يمتد بأتجاه محور التحديب ما بين البئرين XV-1 و XV-3 ، حيث يلاحظ امتداد لقنوات أو تكهفات في البئر XV-1 عند الأعماق 90 ، 155 ، 175 ، 220 كما تظهر الأعمق ذات الدرجات الحرارية العالية في المناطق عديمة النفاية وهذا ما يؤكده الجس بطريقة الكاما الطبيعية والذي تظهر عند الأعماق أيضاً للبئر XV-1 40 ، 80 ، 100 ، 150 ، 170 ، 175 ، 200 ، 215 ويلاحظ أيضاً من خلال اجراء المقاطع الجيولوجية الحرارية، التغيرات في أبعاد الفجوات والقنوات تحت سطحية وامتداداتها بأتجاه البئر XV-3 .

### حساب سرعة حركة المياه الجوفية داخل الآبار:

المعادلة التقاضية لـ (Stallman, 1960)

$$\frac{\partial^2 T}{\partial x^2} + \frac{\partial^2 T}{\partial y^2} + \frac{\partial^2 T}{\partial z^2} - \frac{C_o \rho_o}{k} \left[ \frac{\partial(V_x T)}{\partial x} + \frac{\partial(V_y T)}{\partial y} + \frac{\partial(V_z T)}{\partial z} \right] = \frac{C \rho \partial T}{k \partial t} \quad (1) \quad T = \text{Temp.}$$

at any point at time t.

$C_o$  = Specific heat of fluid

$\rho_o$  = Density of fluid

c = Specific heat of solid - fluid complex

$\rho$  = Density of solid - fluid complex

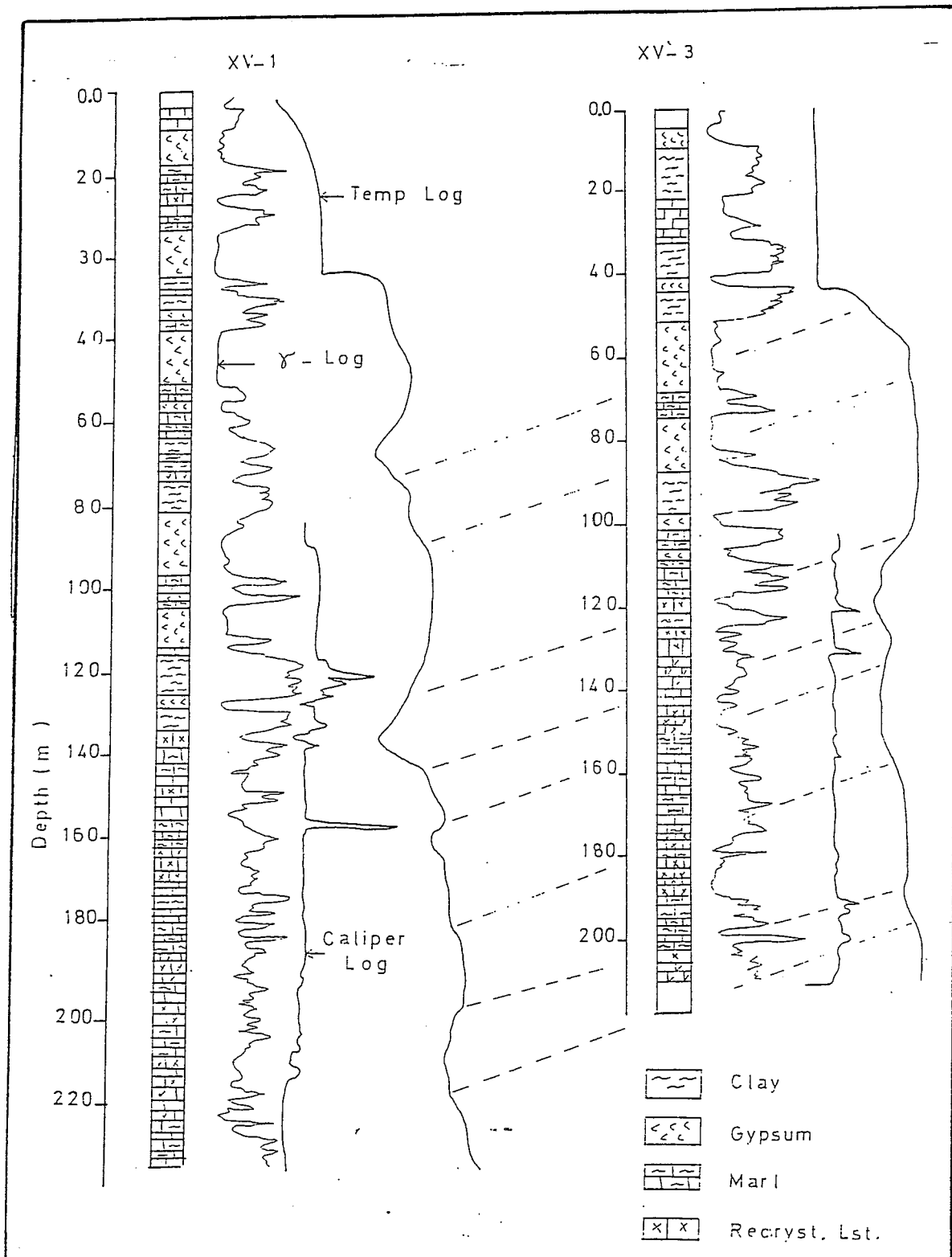
k = thermal conductivity of solid - fluid complex.

$V_x, V_y, V_z$  = components of fluid velocity in X, Y, Z direction

t = Time since flow started

هذه المعادلة أمكن تبسيطها لتحليل السريان لكلا الحرارة والسائل في الاتجاه العمودي، اذا كان السريان ثابت في الزمن والمكان، فالمصطلحات الاخرى في المعادلة التي تعتمد على الزمن وبالاتجاهات X , Y ، Z تساوي صفراءً، عليه فأن المعادلة رقم (1) يمكن اختصارها الى (Bredehoeft & Papadopoulos, 1965)

$$\frac{\partial^2 T}{\partial z^2} - \left[ \frac{C_o \rho_o V_z}{k} \right] \frac{\partial T}{\partial z} = 0 \quad (2)$$



شكل 4: مقطع حراري وجيولوجي عمودي على محور الطيبة ويشاهد فيه  $\gamma$ -ray log و caliper log

تم حل المعادلة رقم (2) باستعمال الشروط الحدودية لشرح المسألة  $T_z = T_0$  عند  $Z = 0$  و  $T_z = T_L$  عند  $Z = L$  في حالة  $V_z$  موجبة باتجاه الأسفل من عند البداية  $T_0$  حيث تكون البداية  $T_0$  و هي الحرارة عند البداية والعمق  $L$  من البداية فكان الحل الآتي:

$$(T_z - T_0)/(T_L - T_0) = f(\beta, Z/L) = [\exp(\beta, Z/L) - 1] / [\exp(\beta-1)] \quad (3)$$

$\beta = C_w \rho_w V_z L / k$  حيث

$\beta$  معلومة عديمة الوحدة موجبة أو سالبة تعتمد على  $V_z$  اذا كان السريان باتجاه الأسفل أو الأعلى داخل البئر.

السرعة العمودية أمكن حسابها من الجس الحراري للبئر XIX-11 وذلك باستحصل قيمه  $\beta$  بواسطة تقطيع العمق  $Z/L$  مع الحرارة  $(T_z - T_0)(T_L - T_0)$

أستعملت منحنيات بردهوفت وبابادوبلوس المثلالية لاجداد قيمة  $\beta$  التي تساوي 1.0 كما موضحة في الشكل رقم (5) حيث وجد أن سرعة الماء داخل البئر من العمق 100 الى العمق 150 يساوي  $1 \times 10^{-6}$  m/sec وبنطبيق المعادلة رقم (4).

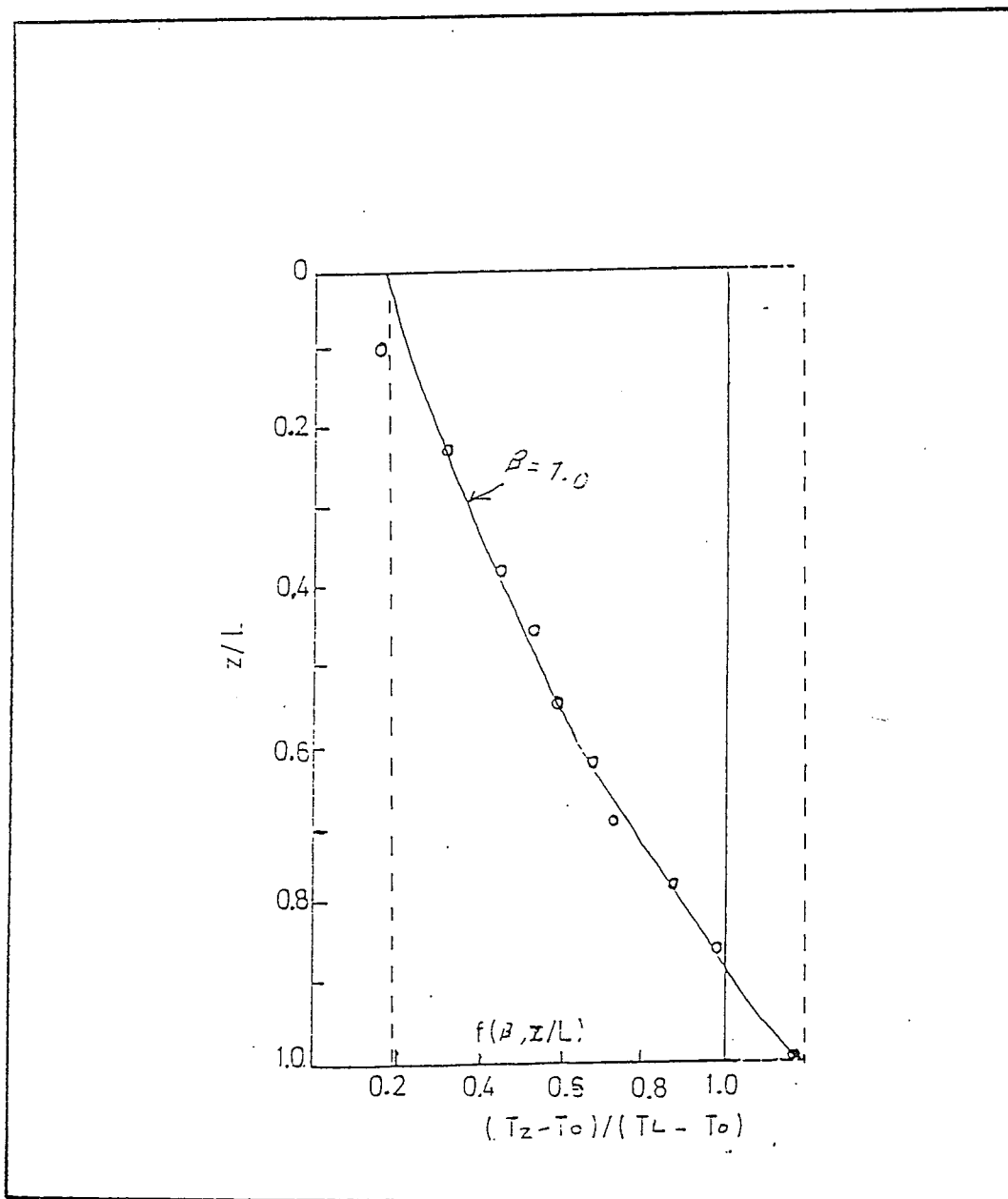
$$Q = A V_z \quad (4)$$

A = cross sectional area of the well

يمكن حساب كمية المياه المتسربة ما بين الخزانات ، السرعة البطيئة داخل البئر تعكس قيمة النفاذية للطبقات التي أستحصلت من عملية الضخ التجاري والتي كانت تساوي أقل من 1 م / يوم .

### الاستنتاجات

- الجس الحراري ممكن اعتباره من اسهل التقنيات التي تستعمل في المسوحات الهيدروجيولوجية ، حيث يمكن تحليل معلومات مخطوطات الجس الحراري بسرعة في الحقل.
- التعرف السريع على سمك وأعماق وامتدادات الخزانات الجوفية وبسهولة وخاصة في المناطق التي تختلف فيها الآبار أكثر من خزان جوفي.
- يمكن معرفة وبصورة سريعة ورخيصة - الخواص الهيدروليكيه للطبقات الحاوية على الماء .
- سهولة حساب كميات المياه المتسربة ما بين الخزانات وتعتبر هذه العملية مهمة جدا في حالة تواجد خزانات تحتوي على مياه ذات نوعيات مختلفة، والكشف عن احتمالية حدوث حالات ثلوج .



شكل 5: تسقيط درجات الحرارة مابين الاعماق 100-150 على المنحني المثالي لبردهوفت وبابادوبولس

XIX-11 للبئر

**المصادر الاجنبية**

- Bredehdeft, J. D. and Papadopvlos I. S., 1965. Rates of vertical ground water movement estimated from earth's thermal profile, W. R. R. Vol.1 No.2. pp. 325 - 328.
- Keys, W. S. and Brown R. F., 1978. The use of temperature logs to trace the movement of injected water: G. W. Vol. 16, No. 1 pp 22 - 48.
- Stallman R. W., 1960. Methods of collecting and interpreting ground water data, compiled in Ray Bentall, U. S. Geol. Surv. Water supply paper, 1544-H pp. 36 - 46.